

บทที่ 2

ทฤษฎีและงานวิจัยที่เกี่ยวข้อง

วิทยานิพนธ์นี้เป็นการวิจัยเกี่ยวกับความผิดพร่องเนื่องจากสายไฟฟ้าขาดแล้วสัมผัสพื้นโดยเกิดขึ้นในระบบไฟฟ้ากำลัง ดังนั้นจึงมีทฤษฎีที่เกี่ยวข้องอยู่หลายด้าน อาทิเช่น ด้านความรู้ ที่มาของระบบไฟฟ้ากำลัง ด้านการเกิดความผิดพร่อง ด้านการป้องกันระบบไฟฟ้ากำลัง ด้านผลกระทบต่อภาระในระบบไฟฟ้า และด้านอุปกรณ์อิเล็กทรอนิกส์ แต่จะขออธิบายถึงส่วนที่สำคัญและเกี่ยวข้องกับงานวิจัยนี้ โดยมีรายละเอียดพอที่จะอธิบายได้ดังนี้

2.1 ระบบจำหน่ายไฟฟ้า (Electrical Distribution Systems)

ระบบไฟฟ้ากำลัง โดยทั่วไปแบ่งระดับออกได้ดังนี้

- ระบบผลิตไฟฟ้า

ระบบผลิตไฟฟ้าเป็นส่วนที่ผลิตไฟฟ้าให้แก่ระบบไฟฟ้ากำลัง โดยในระบบการผลิตไฟฟ้า ส่วนใหญ่นั้นจะอาศัยพลังงานทางกลเพื่อเปลี่ยนเป็นพลังงานไฟฟ้า ซึ่ง Jenenne เอเตอร์เป็นอุปกรณ์หลักที่ใช้ในการผลิตไฟฟ้ามากที่สุด พลังงานกลที่ใช้ผลิตไฟฟ้านั้น สามารถได้มาจากการผลิต พลังงานอื่นๆ เช่น พลังงานลม พลังงานน้ำ พลังงานความร้อน เป็นต้นและอาจจะมีส่วนน้อยที่ใช้หลักการการเปลี่ยนแสงซึ่งเป็นพลังงานคลื่นแม่เหล็กไฟฟ้าไปเป็นพลังงานไฟฟ้าได้โดยตรง เช่น การใช้เซลล์แสงอาทิตย์ในการผลิตไฟฟ้า

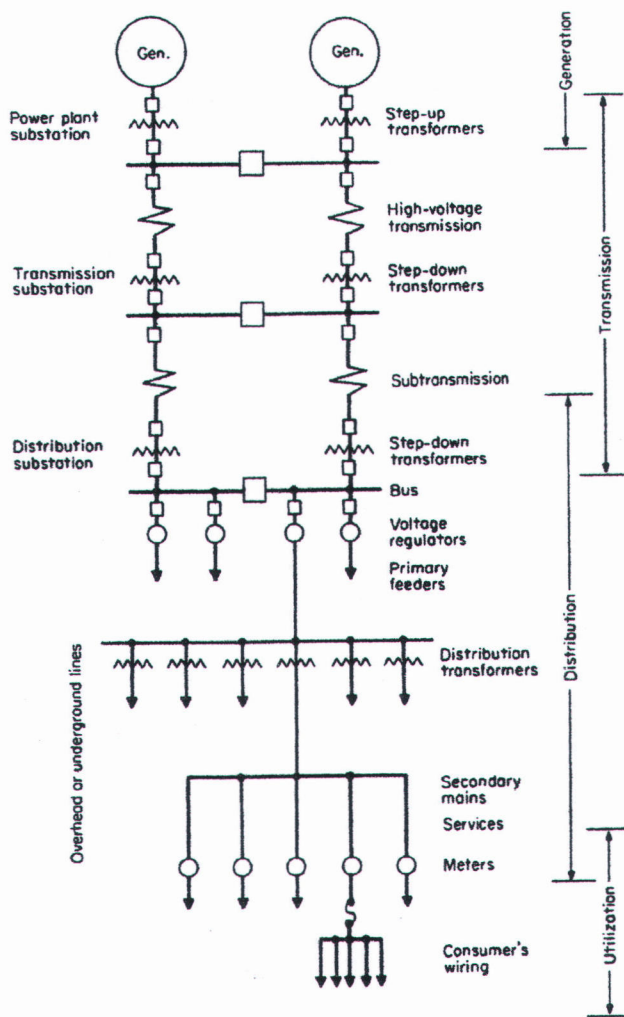
- ระบบส่งกำลังไฟฟ้า

เมื่อผลิตไฟฟ้าได้แล้ว จะต้องมีระบบที่ทำหน้าที่ส่งผ่านพลังงานไฟฟ้าจากแหล่งผลิตไปยังแหล่งการใช้พลังงาน ระบบดังกล่าวเรียกว่า ระบบส่งกำลังไฟฟ้า โดยส่วนใหญ่แล้วระบบนี้จะใช้ระดับแรงดันที่สูงมากๆ เพื่อให้สามารถส่งกำลังไฟฟ้าไปได้ระยะทางไกลยิ่งขึ้น โดยให้ความสูญเสีย (Loss) ต่ำ

- ระบบจำหน่ายไฟฟ้า

ระบบนี้ทำหน้าที่ลดระดับแรงดันจากระบบส่งกำลังไฟฟ้า มาสู่ระดับจำหน่ายไฟฟ้า ระบบจำหน่ายไฟฟ้านั้นนับว่าเป็นระบบที่เข้าถึงประชาชนผู้ใช้ไฟฟ้ามากที่สุด กล่าวคือระบบไฟฟ้าที่ใช้ตามบ้านเรือนก็ล้วนเป็นระบบจำหน่ายไฟฟ้าทั้งสิ้น ทำให้มีอิทธิพลต่อชีวิตประจำวันอย่างมาก ภายในระบบจำหน่ายไฟฟ้านี้ ย่อมส่งผลกระทบต่อผู้ใช้ไฟฟ้าทั้งทางตรง และทางอ้อม

ตัวอย่างระบบไฟฟ้ากำลัง แสดงได้ในภาพที่ 2.1 ซึ่งครอบคลุมทั้งสามระบบไฟฟ้าหลัก คือ ระบบผลิตไฟฟ้า ระบบส่งกำลังไฟฟ้า และระบบจำหน่ายไฟฟ้า



ภาพที่ 2.1 ระบบไฟฟ้ากำลัง และส่วนประกอบของระบบไฟฟ้ากำลัง

ในที่นี้จะกล่าวถึงระบบจำหน่ายไฟฟ้า ระบบจำหน่ายไฟฟ้าเป็นระบบที่มีความสำคัญอย่างหนึ่งในระบบไฟฟ้ากำลัง เพราะเป็นระบบที่ติดต่อระดับแรงดันจากแรงดัน 115 kV ลงมาสู่ระดับแรงดันสูงปานกลาง ระบบดังกล่าวเป็นระบบที่กระจายพลังงานไฟฟ้าเข้าสู่เมือง ชุมชน หรือพื้นที่ห่างไกล [2]

ในประเทศไทยระดับแรงดันของระบบจำหน่ายจะแบ่งตามผู้ให้บริการไฟฟ้า และพื้นที่ให้บริการ เช่น แรงดันระดับ 12 และ 24 kV เป็นแรงดันระบบจำหน่ายของการไฟฟ้านครหลวง (กฟน.) ซึ่งรับผิดชอบการจ่ายไฟฟ้าในพื้นที่ กรุงเทพมหานคร นนทบุรี และสมุทรปราการ

ส่วนแรงดัน 11, 22 และ 33 kV เป็นแรงดันระบบจำหน่ายของการไฟฟ้าส่วนภูมิภาค (กฟภ.) ซึ่งพื้นที่รับผิดชอบการจ่ายไฟฟ้าของการไฟฟ้าส่วนภูมิภาค คือ 73 จังหวัดทั่วไปประเทศไทย ยกเว้น กรุงเทพมหานคร นนทบุรี และสมุทรปราการ

2.2 การต่อโหลด 3 เฟส (Three Phase Load Connection)

พิจารณาเฉพาะแหล่งจ่ายที่ต่อแบบวาย (Wye) ต่อเข้ากับ โหลดสามเฟส ซึ่ง โหลดสามเฟสที่จะนำมายังน้ำมีสองชนิดคือ โหลดสามเฟสต่อแบบวาย (Y) กับ โหลดสามเฟสต่อแบบเดลต้า (Δ) [3]

การต่อโอลด์แบบวาย (Wye Connection)

ถ้าเป็นโอลด์สามเฟสต่อแบบ Y เมื่อต่อเข้ากับเครื่องกำเนิดไฟฟ้าสามเฟส จะได้ดังภาพที่ 2.2 ภาพที่ 2.2(a) เป็นการต่อแบบสามเฟส สีสาย มีสายนิวทรัล ทำหน้าที่นำกระแสที่ไม่สมดุลของโอลด์กลับเข้าระบบ ในกรณีที่โอลด์ทั้งสามไม่เท่ากัน ส่วนกรณีที่โอลด์ทั้งสามเท่ากัน ($Z_1 = Z_2 = Z_3$) สายนิวทรัลสามารถปลดออกได้ เมื่อจากไม่มีกระแสที่เหลือจากโอลด์ทั้งสาม การต่อโอลด์ที่ไม่ใช้สายนิวทรัลเรียกว่า ระบบสามเฟสสามสาย ซึ่งแสดงลักษณะการต่อดังภาพที่ 2.2(b) จากภาพจะเห็นว่า โอลด์ในแต่ละเฟส จะต่อขนานกับแหล่งกำเนิดแรงดันโดยตรง ดังนั้น แรงดันตกคร่อมที่โอลด์แต่ละตัวจะมีค่าเท่ากัน

$$\begin{aligned} V_{an} &= E_{AN} \\ V_{bn} &= E_{BN} \\ V_{cn} &= E_{CN} \end{aligned} \quad \dots \dots \dots \quad (1)$$

กระแสที่ไหลออกจากเครื่องกำเนิดไฟฟ้าในแต่ละเฟสเรียกว่ากระแสเฟส (Phase Current) ซึ่งได้แก่ I_A , I_B และ I_C ส่วนกระแสที่ไหลผ่านสายตัวนำที่ต่อระหว่างขั้วของเครื่องกำเนิดไฟฟ้ากับโหลดเรียกว่ากระแสสาย (Line Current) ซึ่งได้แก่ I_{Aa} , I_{Bb} และ I_{Cc} จากรวงจรภาพที่ 2.2 จะเห็นว่ากระแสเฟสเป็นกระแสตัวเดียวกับกระแสสาย การคำนวณหาค่ากระแสสายและกระแสเฟส จึงทำได้เหมือนกับระบบหนึ่งเฟสกันคือ

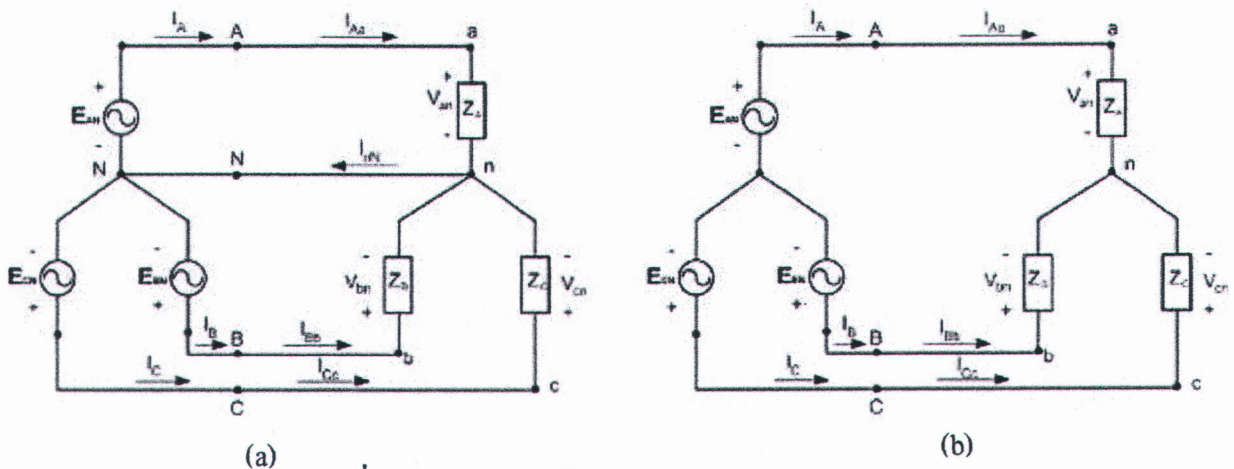
$$I_{Aa} = I_A = \frac{V_{an}}{Z_A} \quad \dots \dots \dots (2)$$

$$I_{Bb} = I_B = \frac{V_{bn}}{Z_p} \quad \dots \dots \dots (3)$$

$$I_{Cc} = I_C = \frac{V_{cn}}{Z_c} \quad \dots \dots \dots (4)$$

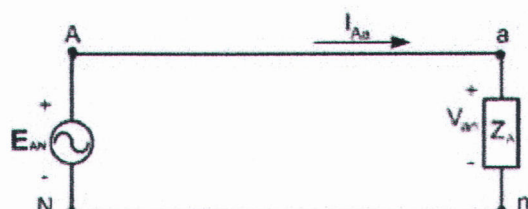
สำหรับกระแส I_{nN} จะเท่ากับผลรวมของกระแสสายทั้งสามเฟส ซึ่งมีขั้นตอนการได้ว่า

$$I_{nN} = I_{Aa} + I_{Bb} + I_{Cc} \quad \dots\dots\dots (5)$$



ภาพที่ 2.2 แสดงการต่อโหลดสามเฟสแบบวาย

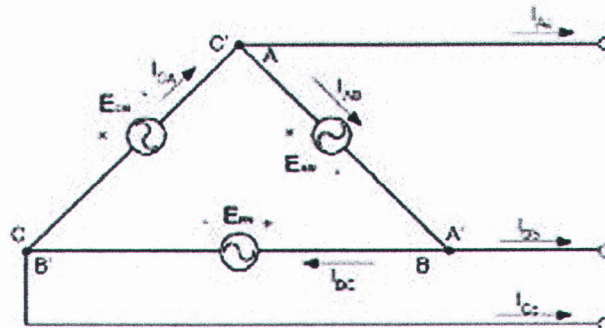
ในกรณีที่ระบบสามเฟสมีโหลดทั้งสามเฟสเท่ากันหรือสมดุล ($Z_A = Z_B = Z_C$) สมการที่ 5 จะให้ค่ากระแส I_{nN} เท่ากับศูนย์ ในสภาวะเช่นนี้สายนิวทรัลสามารถปลดออกจากระบบได้ แต่ถ้าระบบสามเฟสมีโหลดทั้งสามเฟสไม่เท่ากันหรือไม่สมดุล ($Z_A \neq Z_B \neq Z_C$) ผลรวมของกระแสตามสมการที่ 5 จะไม่เท่ากับศูนย์ ทำให้สายนิวทรัลจะทำหน้าที่รักษาระดับของแรงดันไฟฟ้าให้สมดุล จากสมการที่ 2 ถึงสมการที่ 4 เมื่อโหลดทั้งสามเฟสสมดุล จะให้ค่ากระแสที่โหลดผ่านโหลดแต่ละเฟสเท่ากัน ส่วนมุมไฟฟ้าของกระแสแต่ละเฟสจะต่างกันเป็นมุม 120° ตามลำดับเฟส หากความจริงดังกล่าวถ้าทราบค่ากระแสที่โหลดผ่านโหลดตัวใดตัวหนึ่งพร้อมกับลำดับไฟฟ้าของวงจรก็จะสามารถหาค่ากระแสของโหลดที่เหลือทั้งสองได้ ดังนั้นการวิเคราะห์วงจรสามเฟส เมื่อโหลดสมดุลสามารถทำได้ด้วยการวิเคราะห์แบบหนึ่งเฟส โดยหาค่ากระแสในเฟสใดเฟสหนึ่ง จากนั้นใช้ความสัมพันธ์ของลำดับไฟฟ้าค่าของกระแสในเฟสที่เหลือ ภาพที่ 2.3 เป็นวงจรสมมูลหนึ่งเฟส ของวงจรสามเฟสเมื่อโหลดสมดุล



ภาพที่ 2.3 วงจรสมมูลหนึ่งเฟส กรณีที่โหลดทั้งสามเฟสเท่ากัน



การต่อโอลด์แบบเดลต้า (Delta Connection)



ภาพที่ 2.4 เครื่องกำเนิดไฟฟ้าสามเฟสที่มีการต่อแบบเดลต้า (Δ)

จากภาพที่ 2.4 จะได้กระแสเฟสคือ I_{AB} , I_{BC} และ I_{CA} ส่วนกระแสสาย I_{Aa} , I_{Bb} และ I_{Cc} การวัดแรงดันระหว่างสาย A กับสาย B จะเหมือนกับการวัดแรงดันไฟสัมภ์ นั่นคือการต่อแบบเดลต้า (Δ) จะให้แรงดันสายเท่ากับแรงดันไฟสัมภ์ ถ้าระบบมีลำดับเฟส \overline{ABC} จะได้ว่า

$$E_{AB} = E_{AA'} = E_m \angle 0^\circ \quad \dots \dots \dots (6)$$

$$E_{BC} = E_{BB'} = E_m \angle -120^\circ \quad \dots \dots \dots (7)$$

$$E_{CA} = E_{CC'} = E_m \angle 120^\circ \quad \dots \dots \dots (8)$$

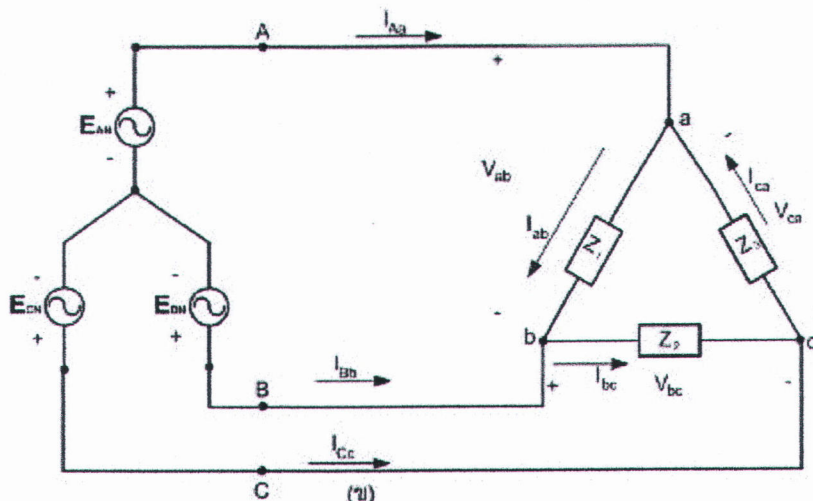
จากภาพที่ 2.4 ถ้าเครื่องกำเนิดไฟฟ้าต่อโอลด์ จะเห็นว่ากระแสสาย (I_{Aa} , I_{Bb} และ I_{Cc}) จะไม่เท่ากับกระแส (I_{AB} , I_{BC} และ I_{CA}) ในทางปฏิบัติการต่อเครื่องกำเนิดไฟฟ้าสามเฟสแบบเดลต้า (Δ) นักไม่นิยมต่อใช้งานเนื่องจากเมื่อเครื่องกำเนิดไฟฟ้าต่อโอลด์กระแสที่ไหลผ่านโอลด์จะสร้างเส้นแรงแม่เหล็กที่มีลักษณะบิดเบี้ยวจากสภาพปกติ ทำให้การเกิดแรงดันเหนี่ยวนำในคลัวแต่ละขดมีขนาดหรือเฟสไม่สมดุล ผลกระทบของแรงดันไฟฟ้าทั้งสามจะไม่เท่ากับสูญญี่ ซึ่งผลอันนี้จะทำให้เกิดกระแสหูนุนเวียนภายในคลัวทั้งสามของเครื่องกำเนิดไฟฟ้า ทำให้เครื่องกำเนิดไฟฟาร้อนและประสิทธิภาพการทำงานลดลง โอลด์สามเฟสแบบเดลต้า (Δ) มีทั้งที่สมดุลและไม่สมดุลขึ้นอยู่กับลักษณะการใช้งานภายในระบบไฟฟ้ากำลัง โดยจะพิจารณาแบบเดลต้า (Δ) สมดุลคือ ($Z_1 = Z_2 = Z_3$) ซึ่งแสดงดังภาพที่ 2.4 ในการหาค่ากระแสสายจึงต้องอาศัยกฎกระแสของเคนอร์-ซอฟฟ์ เจียนสมการกระแสสายที่ในคลัวทั้งสามของโอลด์ ซึ่งจะได้ว่า

$$I_{Aa} = I_{ab} - I_{ca} \quad \dots \dots \dots (9)$$

$$I_{Bb} = I_{bc} - I_{ab} \quad \dots \dots \dots (10)$$

$$I_{Cc} = I_{ca} - I_{bc} \quad \dots \dots \dots (11)$$

สำนักงานคณะกรรมการวิจัยแห่งชาติ
วันที่ 123 ปี พ.ศ. 2559
เลขทะเบียน 246225
เลขเรียกหนังสือ



ภาพที่ 2.5 แสดงการต่อโอลด์สามเฟสแบบเดลต้า

ส่วนกระกระแสซึ่งไหลผ่านอิมพีเดนซ์ในแต่ละเฟส หาได้จากแรงดันตกคร่อมอิมพีเดนซ์ตัวนั้นๆ หากด้วยอิมพีเดนซ์เช่น กระแสเฟส I_{ab} เป็นกระแสที่ไหลจากโนด a ไปยังโนด b มีอิมพีเดนซ์ Z_1 ต่ออยู่ระหว่างโนด a – b ดังนั้นสามารถหากระแสเฟส I_{ab} ได้

$$I_{ab} = \frac{V_{ab}}{Z_1} \quad \dots\dots\dots(12)$$

ในทำนองเดียวกัน

$$I_{bc} = \frac{V_{bc}}{Z_2} \quad \dots\dots\dots(13)$$

$$I_{ca} = \frac{V_{ca}}{Z_3} \quad \dots\dots\dots(14)$$

ในกรณีที่โอลด์สมดุลกระกระแสซึ่งไหลผ่านอิมพีเดนซ์ทั้งสามจะมีค่าเท่ากัน ส่วนมุมเฟสในแต่ละเฟสจะต่างกันเป็นมุม 120° ถ้ากำหนดให้กระแส $I_{ab} = I \angle \theta$ และระบบมีลำดับเฟสแบบ \overline{ABC} จะทำให้ได้กระแส $I_{ca} = I \angle (\theta + 120^\circ)$ จากสมการที่ 9 จะได้กระแสสาย I_{Aa} เท่ากับ

$$I_{Aa} = I_{ab} - I_{ca}$$

$$\begin{aligned} I_{Aa} &= I \cos \theta + j I \sin \theta - I \cos(\theta + 120^\circ) - j I \sin(\theta + 120^\circ) \\ &= -2I \sin(\theta + 60^\circ) \sin(-60^\circ) + j 2I \cos(\theta + 60^\circ) \sin(-60^\circ) \\ &= \sqrt{3}I(\sin(\theta + 60^\circ) - j \cos(\theta + 60^\circ)) \\ &= \sqrt{3}I(\cos(\theta - 30^\circ) - j \sin(\theta - 30^\circ)) \\ &= \sqrt{3}I \angle (\theta - 30^\circ) \text{ A} \end{aligned} \quad \dots\dots\dots(15)$$

$$|I_{Aa}| = \sqrt{3}I = \sqrt{3}|I_{ab}| \quad \dots\dots\dots(16)$$

จากสมการที่ 16 ขนาดของกระแสสาย I_{Aa} จะเท่ากับ $\sqrt{3}$ ของกระแสเฟส ส่วนเฟสของกระแสสาย จะล้าหลังกระแสเฟสที่มีอักษรเฟสตัวแรกตรงกัน เป็นมุม 30° เช่นกระแสสาย I_{Aa} ล้าหลังกระแส I_{ab} กระแสสาย I_{Bb} ล้าหลังกระแส I_{bc} และกระแสสาย I_{Cc} ล้าหลังกระแส I_{ca} แต่ สำหรับมีลำดับเฟสแบบ \overline{ACB} กระแสสายจะนำหน้ากระแสเฟสอยู่ 30° สรุปได้ว่า โหลดสามเฟส ที่ต่อแบบเดลต้า (Δ) สมดุล จะมีกระแสสายเท่ากับ $\sqrt{3}$ ของกระแสเฟสและมุมเฟสจะเคลื่อนออกไป 30° ส่วนแรงดันสายจะเท่ากับแรงดันเฟส

2.3 ความผิดพร่องในระบบจähน่ายไฟฟ้า (Fault in distribution systems)

ความผิดพร่องในระบบจähนยไฟฟ้า อาจมีสาเหตุมาจากการอุบัติเหตุ ตัวว์เต้อิคลาน การเสื่อมอายุ ของอุปกรณ์ไฟฟ้าในระบบ และภัยธรรมชาติ เป็นต้น สาเหตุข้างต้นนำมาสู่ประเภทของความผิด-พร่องชนิดต่างๆ ที่เกิดขึ้นในระบบไฟฟ้า

ความผิดพร่องในระบบจähนยไฟฟ้า สามารถแบ่งได้เป็นประเภทดังนี้

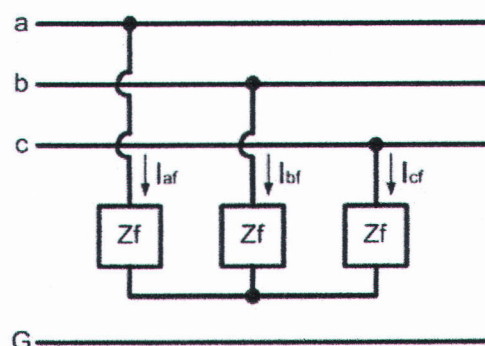
1. Three Phase Fault
2. Line to Line Fault
3. Double Line to Ground Fault
4. Single Line to Ground Fault
5. Open Conductor Fault
6. Down Conductor Fault

ความผิดพร่องในแบบต่างๆนี้ เมื่อเกิดในระบบไฟฟ้าแล้ว จะส่งผลต่อระบบไฟฟ้าและอุปกรณ์ไฟฟ้า ในลักษณะที่ต่างกัน ดังตารางที่ 2.1 ซึ่งแสดงสาเหตุของการเกิดความผิดพร่อง และผลกระทบต่อระบบไฟฟ้า เมื่อเกิดความผิดพร่องแบบต่างๆขึ้น

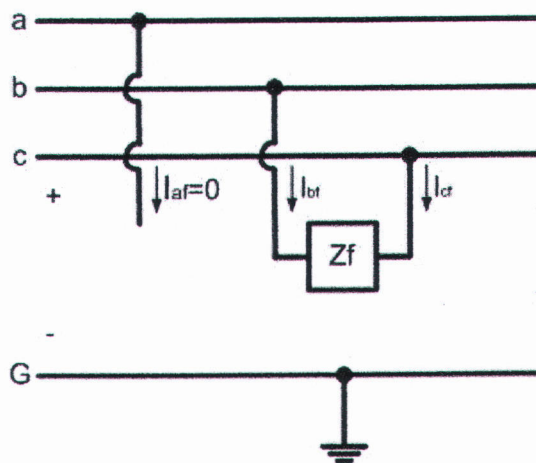
ตารางที่ 2.1 ผลกระทบที่เกิดขึ้นกับระบบไฟฟ้า เมื่อเกิดความผิดพร่องแบบต่างๆ

ประเภทความผิดพร่อง	สาเหตุ	ผลกระทบ
Three Phase Fault	ภัยธรรมชาติ, ความประมาทของผู้ปฏิบัติงาน	กระแสสูงในเฟสที่เกิด ความผิดพร่อง
Line to Line Fault	จำนวนเตี้ยหาย, ภัยธรรมชาติ, อุบัติเหตุ	กระแสสูง และระบบไฟฟ้า เตี้ยสมดุล
Double Line to Ground Fault	จำนวนเสื่อมสภาพ, อุบัติเหตุ	กระแสสูง และแรงดันลดลง ในเฟสที่เกิดความผิดพร่อง
Single Line to Ground Fault	จำนวนเสื่อมสภาพ, สัคไว, ต้นไม้	กระแสสูง และแรงดันลดลง ในเฟสที่เกิดความผิดพร่อง
Open Conductor Fault	สายไฟชำขาด, สายไฟชำรุด	ระบบเตี้ยสมดุล กระแสและ แรงดันจะลดลง
Down Conductor Fault	สายไฟชำขาด, ต้นไม้	ระบบเตี้ยสมดุล กระแสผิด พร่องจะขึ้นอยู่กับความ ต้านทานผิดพร่อง

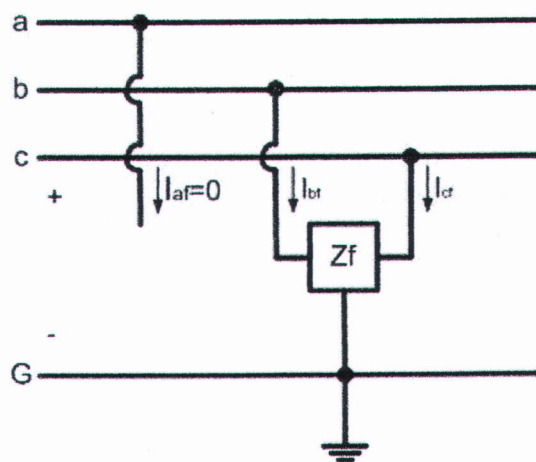
รูปแบบของความผิดพร่องในลักษณะต่างๆ ที่เกิดขึ้นภายในระบบจำหน่ายไฟฟ้า ได้ถูกแสดงใน
ภาพที่ 2.6 – 2.11



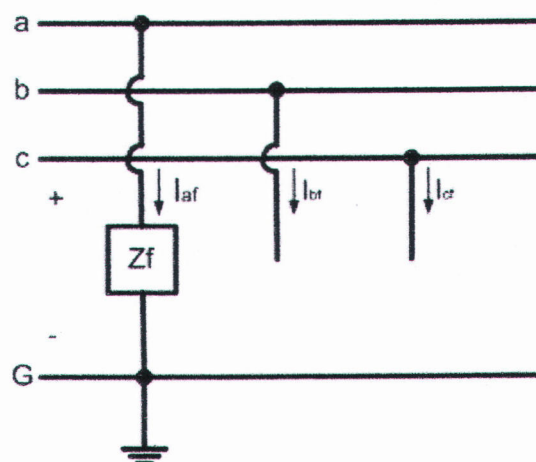
ภาพที่ 2.6 การเกิดความผิดพร่องแบบ Three Phase Fault



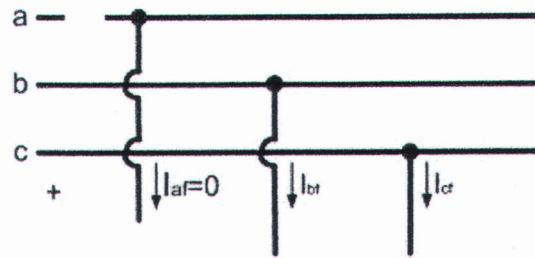
ภาพที่ 2.7 การเกิดความผิดพร่องแบบ Line to Line Fault



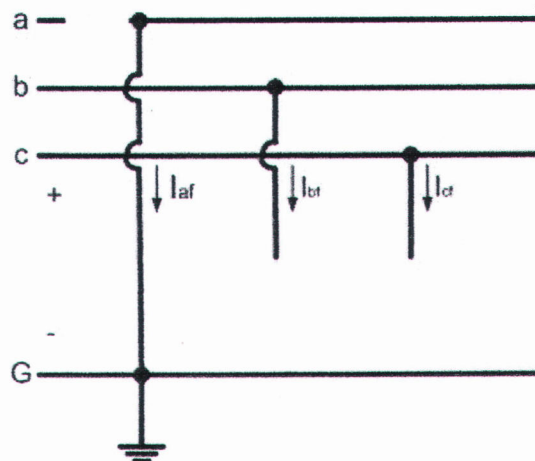
ภาพที่ 2.8 การเกิดความผิดพร่องแบบ Double Line to Ground Fault



ภาพที่ 2.9 การเกิดความผิดพร่องแบบ Single Line to Ground Fault



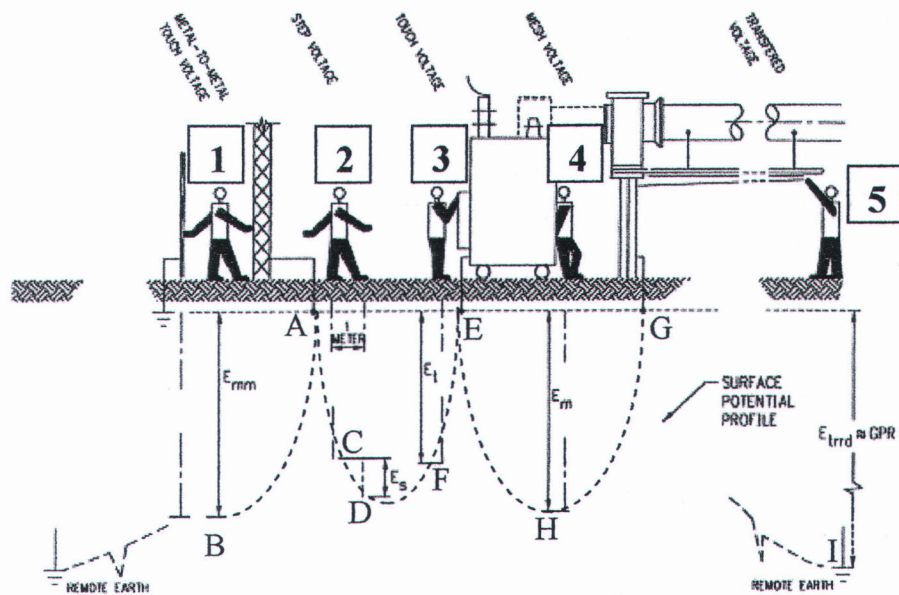
ภาพที่ 2.10 การเกิดความผิดพร่องแบบ Open Conductor Fault



ภาพที่ 2.11 การเกิดความผิดพร่องแบบ Down Conductor Fault

2.4 การเพิ่มขึ้นของศักย์ไฟฟ้าดิน (Ground Potential Rise)

การเพิ่มขึ้นของศักย์ไฟฟ้าดินมีสาเหตุมาจากการผิดพร่องที่เกิดขึ้นในสถานีไฟฟ้า โรงไฟฟ้า หรือระบบส่งกำลังไฟฟ้า โดยเมื่อกระแสไฟผ่านอุปกรณ์ หรือโครงสร้างของสถานีไฟฟ้า ลงดิน ซึ่งดินจะมีค่าความต้านทานดินอยู่จำกัด กระแสที่ไหลลงดินจะสร้างศักย์ไฟฟ้าขึ้น โดยศักย์ไฟฟ้าที่เกิดขึ้นมีความสัมพันธ์กับระยะทางระหว่างจุดที่เกิดความผิดพร่องลงดินกับจุดลงดินของระบบ ผลของศักย์ไฟฟ้าดินที่เพิ่มขึ้น สามารถเป็นสาเหตุให้เกิดแรงดันที่อันตราย แม้ว่าจะห่างจากจุดที่เกิดความผิดพร่องจริงไปหลายร้อยเมตรก็ตาม มีหลายปัจจัยที่มีผลต่อระดับความรุนแรงของศักย์ไฟฟ้าดิน เช่น กระแสผิดพร่องที่เกิดขึ้น ประเภทของดิน ความชื้นของดิน อุณหภูมิ ชั้นหินที่อยู่ใต้พื้นดิน และเวลาของความผิดพร่องที่เกิดขึ้น เป็นต้น [4]



ภาพที่ 2.12 แสดงการเกิดศักย์ไฟฟ้าในพื้นดิน

พิจารณาตำแหน่งของคนที่ยืนในภาพที่ 2.12 สามารถอธิบายอันตรายจากไฟฟ้าได้ดังนี้ [5]

คนในตำแหน่งที่ 1 ยืนในตำแหน่งที่มีอข้างหนึ่งสัมผัสที่รั้วของสถานีไฟฟ้า ส่วนมืออีกข้างหนึ่งสัมผัสกับโครงโลหะที่ต่อลงดินซึ่งมีศักดิ์ไฟฟ้าเท่ากับที่จุด A ทำให้แรงดันสัมผัสเท่ากับ E_{mm}

คนในตำแหน่งที่ 2 การยืนในตำแหน่งนี้มีศักดิ์ไฟฟ้าที่เท่าทั้งสองข้างไม่เท่ากัน คือมีศักย์ไฟฟ้าที่จุด C และ D ทำให้เกิดแรงดันย่างก้าว (Step voltage) E_s แรงดันย่างก้าวที่มากที่สุดเกิดขึ้นเมื่อเท้าข้างหนึ่งอยู่เหนือกริดพอดีที่จุด A หรือที่จุด E แรงดันย่างก้าวที่พิจารณาในที่นี่คือที่ระยะระหว่างเท้าทั้งสองข้าง 1 เมตร

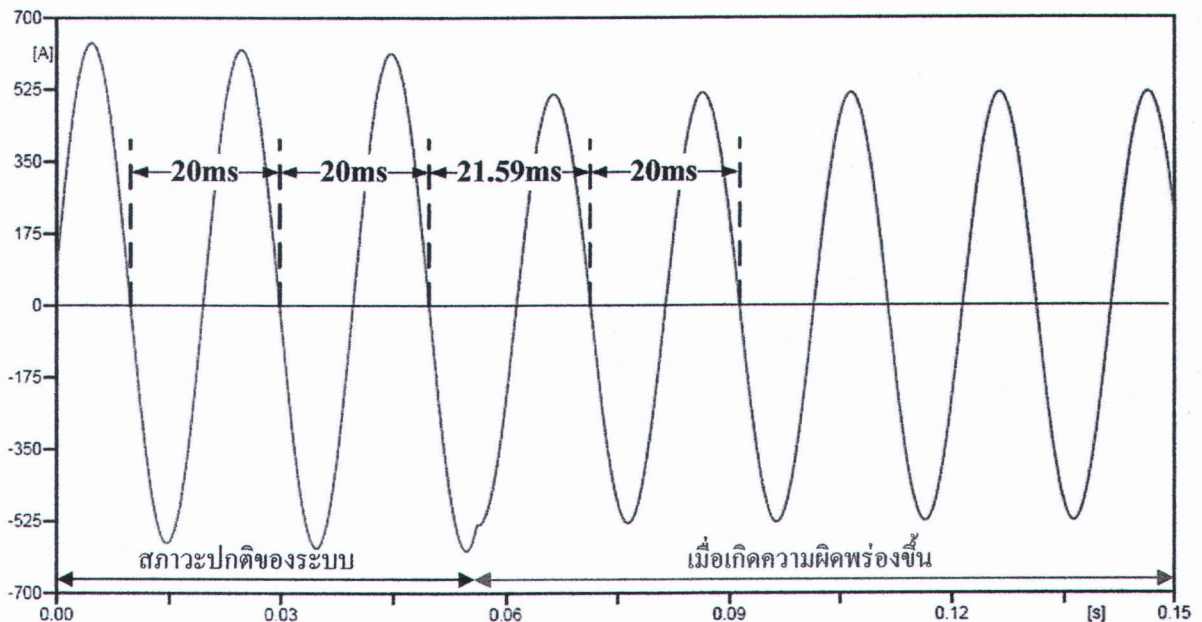
คนในตำแหน่งที่ 3 ยืนสัมผัสกับโครงโลหะของอุปกรณ์ มือที่สัมผัสกับโครงโลหะทำให้มีศักย์ไฟฟ้าเท่ากับกริดที่จุด E ส่วนเท้ายืนบนพื้นดินซึ่งมีศักย์ไฟฟ้าตามเส้นศักดิ์ไฟฟ้าที่จุด F ความต่างศักย์ไฟฟาระหว่างจุด E และ F คือแรงดันสัมผัส E_t

คนในตำแหน่งที่ 4 เมื่อนอกบุคคลในตำแหน่งยืนที่ 1 ต่างกันแต่เพียงคนยืนในตำแหน่งที่ 2 ยืนอยู่บนพื้นดินที่มีศักดิ์ไฟฟ้าต่ำสุด คนยืนสัมผัสกับโครงโลหะของอุปกรณ์ และมือสัมผัสกับโครงโลหะ ทำให้มีศักย์ไฟฟ้าเท่ากับกริดที่จุด E ความต่างศักย์ระหว่างจุด E และ H คือ แรงดันสัมผัส E_m

คนในตำแหน่งที่ 5 ยืนในตำแหน่งที่มีอสัมผัสกับโครงโลหะที่ยืนของมาจากการสถานีไฟฟ้า และโครงโลหะนี้ได้มีการต่อลงดินที่จุด G เนื่องจากยืนอยู่นอกสถานีไฟฟ้า เท้าของคนที่สัมผัสจะงอยู่ห่างไกลจากสถานีไฟฟ้า ทำให้เกิดแรงดันสัมผัส E_{trrd} สูงเกือบทั้งแรงดันดินที่สูงขึ้น (GPR – Ground Potential Rise)

2.5 หลักการการเลื่อนเวลาของกระแส (Time shifting method on current wave)

สัญญาณใดๆที่ความถี่หนึ่งจะมีคาบเวลาคงที่ค่าหนึ่ง ตัวอย่างเช่น ที่ความถี่ 50 เฮิรตซ์ จะมีคาบเวลาอยู่ที่ 20 มิลลิวินาที (ระยะเวลาจากขอบขาขึ้นถึงขอบขาขึ้นของสัญญาณ) หรือจะคิดเพียงครึ่งลูกคลื่น คาบเวลาจะอยู่ที่ 10 มิลลิวินาที (ระยะเวลาจากขอบขาขึ้นถึงขอบขาลงของสัญญาณ) แต่เมื่อเกิดความผิดปกติของสัญญาณ ระยะเวลาดังกล่าวอาจเกิดการเปลี่ยนแปลง



ภาพที่ 2.13 สัญญาณของกระแสขณะเกิดความผิดพร่อง เพื่อมาธิบายถึงการเลื่อนของเวลา

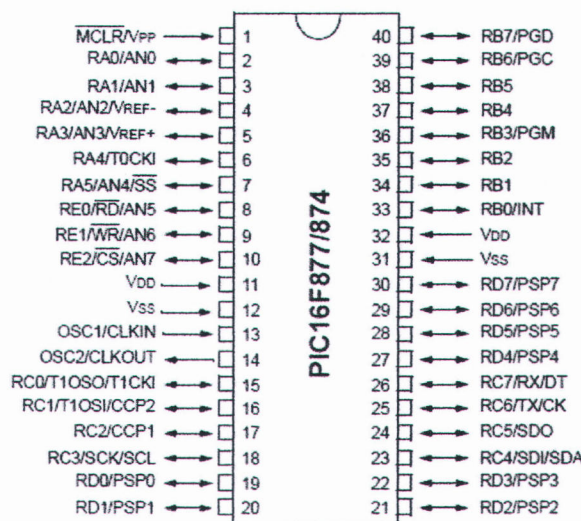
ในสภาพปกติของระบบ 50 เฮิรตซ์ ไฟฟ้าจะมีคาบเวลาของสัญญาณอยู่ที่ 20 มิลลิวินาที แต่เมื่อเกิดกีตามที่เกิดความผิดพร่องขึ้นภายในระบบ ระบบเองจะพยายามปรับสมดุลเพื่อให้เกิดเสถียรภาพขึ้นดังเดิม ผลของการปรับสัญญาณเข้าสมดุลดังกล่าวจะทำให้เกิดการเลื่อนเวลาของสัญญาณขึ้น และเมื่อระบบเข้าสู่สภาพสมดุลได้แล้ว คาบเวลาของสัญญาณจะกลับมาสู่ค่าเดิมที่ 20 มิลลิวินาที

2.6 ไมโครคอนโทรลเลอร์ และการประยุกต์ใช้งาน (Microcontroller and their application)

ไมโครคอนโทรลเลอร์ เป็นอุปกรณ์อิเล็กทรอนิกส์ที่มีความสามารถเขียนโปรแกรมการทำงาน หรือลักษณะพิเศษของตัวโปรแกรมการทำงานลงไว้ในตัวไมโครคอนโทรลเลอร์ได้ แล้วให้ไมโครคอนโทรลเลอร์เป็นตัวประมวลผล และตัดสินใจตามโปรแกรมที่ออกแบบ หรือเขียนโดยผู้พัฒนา

มีการใช้งานในโครค่อนโถรลเลอร์ ได้ในหลายรูปแบบ อาทิเช่น ใช้เป็นเซ็นเซอร์ในการตรวจวัดทางอุตสาหกรรม หรือในอุตสาหกรรมหุ่นยนต์อัตโนมัติ, ใช้ในการประยุกต์เพื่อแก้ไขปัญหาเฉพาะด้าน

ในวิทยานิพนธ์นี้จะเลือกใช้ในโครค่อนโถรลเลอร์ PIC16F877 สำหรับประยุกต์ใช้งานในการตรวจจับความผิดพร่องที่เกิดขึ้นแบบสายจำหน่ายไฟฟ้าขาดแล้วสัมผัสพื้นด้านภาระไฟฟ้า แสดงดังภาพที่ 2.14 [6]



ภาพที่ 2.14 รูปแบบขาพอร์ตต่างๆของ PIC16F877

2.7 งานวิจัยที่เกี่ยวข้อง

- Ilyoul Lee [7] "ได้จดสิทธิบัตรทรัพย์สินทางปัญญาชื่อ Apparatus for and Method of Detecting High Impedance Fault on Distribution Circuits with Delta Connected Loads ในปี ค.ศ. 1981 กล่าวถึงเทคนิคสำหรับการตรวจจับความผิดพร่องแบบอิมพีเดนซ์สูงลงดินบนระบบจำหน่ายที่มีโหลดเป็นเดลต้า โดยเทคนิคนี้จะอาศัยการตรวจจับสถานะของส่วนประกอบชาร์โนนิกลำดับที่ 3 ของกระแสสายทั้ง 3 เฟสในระบบจำหน่ายไฟฟ้า และสังเกตการเปลี่ยนแปลงที่เพิ่มขึ้นของขนาดกระแสไฟฟ้านั่น เพื่อบ่งบอกว่าเกิดความผิดพร่องแบบอิมพีเดนซ์สูงลงดินจริงหรือเป็นการรบกวนในระบบไฟฟ้า

- Martin T. Bishop [8] "ได้จดสิทธิบัตรทรัพย์สินทางปัญญาชื่อ Protective Relay Apparatus for Detecting High-Impedance Ground Faults ในปี ค.ศ. 1986 โดยกล่าวเกี่ยวกับรีเลย์ป้องกันที่ทำหน้าที่ตรวจจับความผิดพร่องแบบเฟสลงดินผ่านอิมพีเดนซ์ค่าสูงในระบบจำหน่ายแบบ 3 เฟส 3 สาย โดยรีเลย์ดังกล่าวจะทำงาน เมื่ออัตราส่วนของกระแสลำดับลบกับกระแสลำดับบวกที่เกินกว่าค่าที่กำหนด ซึ่งใช้ในการตรวจจับเหตุการณ์สายไฟฟ้าขาด

- Majid Al-Dabbagh [9] ได้จดสิทธิบัตรทรัพย์สินทางปัญญาชื่อ High Impedance Fault Detector ในปี ค.ศ. 1997 โดยกล่าวถึงวิธีและอุปกรณ์ในการตรวจจับความผิดพร่องแบบอิมพีเดนซ์ค่าสูงลงดินและประภากลางที่ต่างๆ ในระบบจำหน่ายไฟฟ้า ซึ่งการตรวจจับทำได้โดยการแยกสัญญาณที่มีองค์ประกอบของความถี่ด้วยขนาดและรูปแบบของสัญญาณต่างๆ เช่นสัญญาณกระแสและแรงดันลำดับที่ศูนย์ (zero-sequence current and voltage) กระแสสาร์โนนิกลำดับที่ 3 และ 8 เป็นต้น ถ้านำมาใช้กับระบบจำหน่ายไฟฟ้าจะสามารถตรวจจับความผิดพร่องได้ถูกต้องแม่นยำ

- Hart et al. [10] ได้จดสิทธิบัตรทรัพย์สินทางปัญญาชื่อ High Impedance Fault Detection ในปี ค.ศ. 2002 การตรวจจับความผิดพร่องแบบอิมพีเดนซ์ค่าสูงลงดินที่ถูกปรับปรุงนี้ จะประกอบด้วย ตัววิเคราะห์ที่ติดตั้ง ณ เขอร์กิตเบรคเกอร์ หรือสถานีไฟฟ้า โดยตัววิเคราะห์จะทำหน้าที่วิเคราะห์รูปคลื่นของกระแสไฟฟ้า หรือ/และแรงดันไฟฟ้า เพื่อตรวจจับความผิดพร่องชนิดนี้ ที่เกิดขึ้นภายในวงจรสายป้อน ทั้งแบบสายป้อนวงจรเดียว หรือสายป้อนแบบหลายวงจร ซึ่งสายป้อนแบบหลายวงจรจะมีการติดตั้งอุปกรณ์ตรวจจับระยะไกลในตำแหน่งของลูกค้า อุปกรณ์ตรวจจับระยะไกลนี้จะตรวจจับแรงดันที่หายไป เมื่อเกิดความผิดพร่อง แล้วมีการสื่อสารข้อมูลกลับไปยังตัววิเคราะห์ที่ติดตั้งในสถานีไฟฟ้า

- Craig G. Wester [11] นำเสนอการตรวจจับความผิดพร่องแบบอิมพีเดนซ์ค่าสูงลงดิน ทั้งแบบตรวจจับทางกล และทางไฟฟ้า ในการตรวจจับความผิดพร่องทางกลนี้จะใช้หลักการทำให้เหตุการณ์ความผิดพร่องที่เกิดจากอิมพีเดนซ์ค่าสูงนั้นถูกยกเว้นอิมพีเดนซ์ค่าต่ำ แล้วระบบตรวจจับที่ติดตั้งภายในสถานีไฟฟ้าสามารถตรวจจับความผิดพร่องขึ้นได้ ส่วนการตรวจจับทางไฟฟ้านั้น วิธีแรกที่นำเสนอคือ การตรวจวัดกระแสสาร์โนนิกลำดับที่ 3 เทียบกับสัญญาณแรงดันพื้นฐาน ถ้ามีการเปลี่ยนแปลงเกิดขึ้นกว่าค่าที่ได้ศึกษาไว้จะ สามารถบอกได้ว่าเป็นความผิดพร่อง หรือไม่ เป็นต้น

- A. Lazcano et al. [12] ทำการศึกษาการตรวจจับความผิดพร่องแบบอิมพีเดนซ์ค่าสูงลงดิน ในระบบจำหน่ายของประเทศไทย โดยมีจุดมุ่งหมายที่จะวิเคราะห์ความเสี่ยงของการผิดพร่องดังกล่าว และการวิเคราะห์อาร์กแนวใหม่ ด้วยการประเมินจากการกระแสสาร์โนนิกลำดับต่ำ (low order harmonic current)

- Eilert BJERKAN et al. [13] นำเสนอการตรวจจับเหตุการณ์สายไฟฟ้าขาด หรือสายไฟฟ้าสัมผัสพื้น ด้วยวิธีการใช้อุปกรณ์ตรวจวัดแรงดันติดตั้งเข้าไปในวงจรสายป้อน แล้วอาศัยการสื่อสารระหว่างอุปกรณ์ตรวจวัด ทำการส่ง-รับข้อมูลที่ได้ และทำการหาความผิดพร่องที่เกิดขึ้นได้